



Die Feder- und Dämpfungskräfte  $F_v$  und  $F_h$  der Reifen können durch folgende Gleichungen ausgedrückt werden:

$$F_v = c_v (\dot{z}_v - h_0 \sin \Omega t) + k_v (z_v - \Omega h_0 \cos \Omega t)$$

$$F_h = c_h \dot{z}_h + k_h z_h$$

Mit diesen Ausdrücken für  $F_v$  und  $F_h$  nehmen die Bewegungsgleichungen folgende Form an:

$$m\ddot{z}_v + c_v (\dot{z}_v - h_0 \sin \Omega t) + k_v (z_v - \Omega h_0 \cos \Omega t) + c_h \dot{z}_h + k_h z_h = 0$$

$$\Theta_s \ddot{\varphi} + c_v l_v (\dot{z}_v - h_0 \sin \Omega t) + k_v l_v (z_v - \Omega h_0 \cos \Omega t) - c_h l_h \dot{z}_h - k_h l_h z_h = 0$$

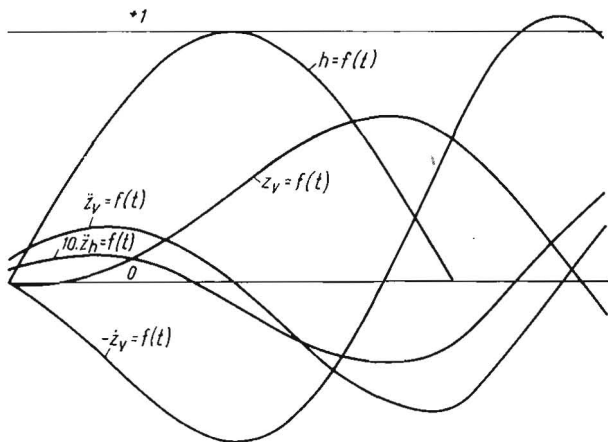
Die Behandlung der Bewegungsgleichungen vereinfacht sich, wenn anstelle der Koordinaten  $z_s$  und  $\varphi$  (Bild 2, a) die über den Radaufstandspunkten liegenden Koordinaten  $z_v$  und  $z_h$  (Bild 2, b) eingeführt werden. Folgender Zusammenhang verbindet diese Größen, wenn man nur kleine Ausschläge zuläßt:

$$z_v = z_s + l_v \varphi$$

$$z_h = z_s - l_h \varphi$$

$$z_s = \frac{1}{l} (l_v z_h + l_h z_v)$$

$$\varphi = \frac{1}{l} (z_v - z_h)$$



Belastungszustand: I  
 $P_v = 2 \text{ kp/cm}^2 \ddot{U}$   
 $u = 5,46 \text{ m/s}$

$\ddot{z}_v = 0,24 \cdot 0,943 \cdot 2500 \cdot 0,05 = 28,3 \text{ m/s}^2$   
 $\ddot{z}_h = 0,012 \cdot 0,943 \cdot 2500 \cdot 0,05 = 1,41 \text{ m/s}^2$

Nach Einführung dieser Beziehungen und entsprechender Umstellung lassen sich die Bewegungsgleichungen folgendermaßen beschreiben:

$$\ddot{z}_v = - \frac{k_v l^2}{m l_h^2 + \Theta_s} z_v - \frac{c_v l^2}{m l_h^2 + \Theta_s} \dot{z}_v - \frac{m l_v l_h - \Theta_s}{m l_h^2 + \Theta_s} \ddot{z}_h + \frac{k_v l^2 h_0}{m l_h^2 + \Theta_s} \cos \Omega t + \frac{c_v l^2 h_0}{m l_h^2 + \Theta_s} \sin \Omega t$$

$$\ddot{z}_h = - \frac{k_h l^2}{m l_v^2 + \Theta_s} z_h - \frac{c_h l^2}{m l_h^2 + \Theta_s} \dot{z}_h - \frac{m l_v l_h - \Theta_s}{m l_v^2 + \Theta_s} \ddot{z}_v$$

Diese Bewegungsgleichungen gelten nur im Intervall  $0 \leq t \leq t_L$ , wobei  $t_L$  die Zeit für den Überrollvorgang darstellt. Sie sind unter den Anfangsbedingungen:

$$t = 0: \quad z_v = 0; \quad \dot{z}_v = 0$$

$$z_h = 0; \quad \dot{z}_h = 0$$

zu integrieren.

Die Lösung dieses gekoppelten Differentialgleichungssystems mit den herkömmlichen Mitteln ist sehr zeitaufwendig. Deshalb wurde ein Analogrechner für die Lösung des Problems eingesetzt.

Bild 3. Weg-, Geschwindigkeits- und Beschleunigungsverlauf beim Überrollen des sinusförmigen Einzelhindernisses

Bild 4. Abhängigkeit der maximalen vertikalen dynamischen Radkraft von der Fahrgeschwindigkeit

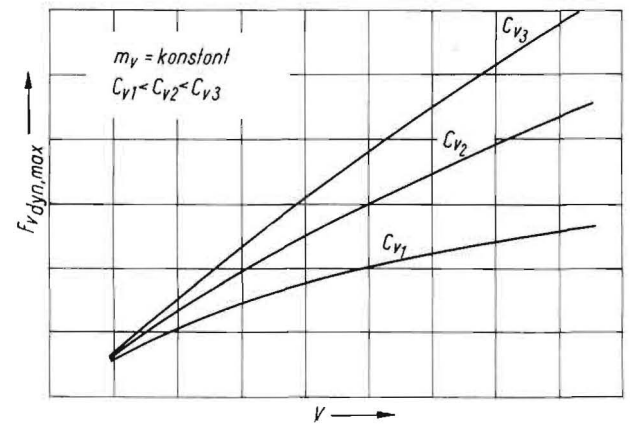


Bild 5. Einfluß der Reifenfederkonstanten auf die maximalen vertikalen dynamischen Radkräfte

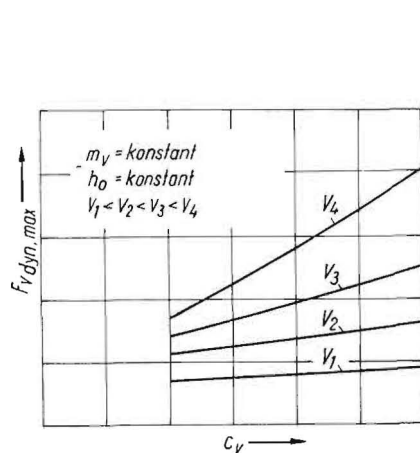


Bild 6. Einfluß der Masse  $m_v$  auf die maximalen vertikalen dynamischen Radkräfte

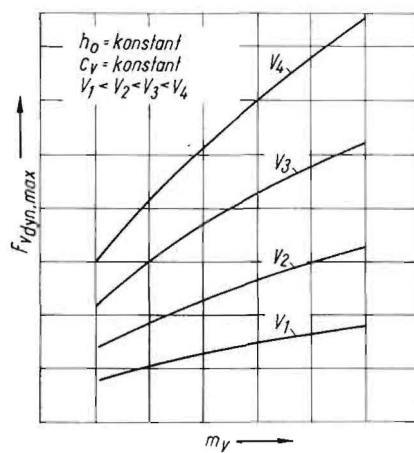
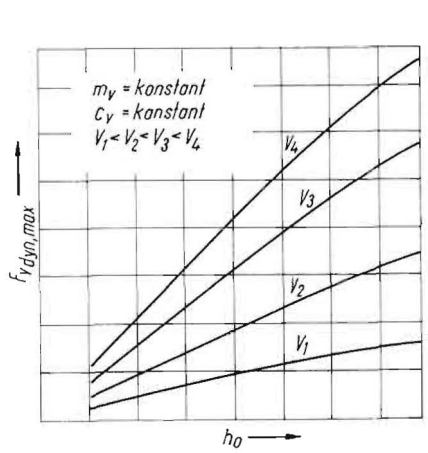


Bild 7. Einfluß der Hindernishöhe auf die maximalen vertikalen dynamischen Radkräfte



## Die Ergebnisse der Rechnung

Die Ergebnisse der Rechnung auf dem Analogrechner fallen in Kurvenform an. Im Bild 3 ist neben der Hindernisfunktion  $h = f(t)$  der Weg-, Geschwindigkeits- und Beschleunigungsverlauf in vertikaler Richtung vom Analogrechner aufgezeichnet worden. Dabei führen positive Beschleunigungswerte zu einer Erhöhung der Radkräfte, negative Beschleunigungen entlasten das Rad. Die absoluten Zahlenwerte für Weg, Geschwindigkeit und Beschleunigung kann man mit Hilfe von Maßstabfaktoren finden.

Die aufgezeichneten Kurven gelten zunächst nur für den Fall des Nichtabspringens des Rades vom Hindernis. Da jedoch meist nur die Frage nach dem Maximum der Beschleunigung und damit den maximalen Radkräften gestellt wird und nachgewiesen werden konnte — worauf an dieser Stelle nicht eingegangen werden soll —, daß das Beschleunigungsmaximum in gleicher Größe normalerweise auch für den Fall des Abspringens gilt, können die Ergebnisse der Rechnung zur Ermittlung der maximalen auf dem Hindernis auftretenden Radkräfte für den gesamten Geschwindigkeitsbereich des Traktors benutzt werden.

Die vertikale dynamische Radkraft kann man nur mit Hilfe des Newton'schen Gesetzes

$$F_{v \text{ dyn}} = m_v \cdot \ddot{z}_v \quad (m_v \text{ auf dem Vorderrad sich abstützende Masse})$$

berechnen.

Zur Ermittlung der Auswirkungen der verschiedenen Parameter des Schwingungssystems auf die dynamischen Radkräfte wurden diese während der Bearbeitung variiert. Einige tendenzielle Ergebnisse sind in Bild 4 bis 7 wiedergegeben.

Im Bild 4 ist die Abhängigkeit der vertikalen dynamischen Radkraft von der Fahrgeschwindigkeit  $v$  dargestellt. Die Kurven zeigen einen stetigen Anstieg der maximalen Radkräfte mit zunehmender Fahrgeschwindigkeit. Sie streben einem Grenzwert zu, der durch die Radkraft gekennzeichnet ist, die beim vollständigen „Schlucken“ des Hindernisses durch den Reifen auftreten würde.

Der Einfluß der Reifenfederkonstanten, also des Reifennendruckes, wird in Bild 5 gezeigt. Es stellte sich heraus, daß die maximalen Radkräfte fast proportional mit der Reifenfederkonstanten zunehmen. Bei niedrigen Fahrgeschwindigkeiten ist der Einfluß von  $c_v$  sehr gering.

Die Auswirkungen veränderter Masse  $m_v$  werden in Bild 6 angegeben. Die Kurven zeigen degressiven Charakter. Bezeichnend ist wiederum, daß die Abhängigkeit der dyna-

mischen Radkräfte von  $m_v$  mit steigender Fahrgeschwindigkeit größer wird.

Bild 7 zeigt die Abhängigkeit der dynamischen Radkräfte von der Hindernishöhe  $h_0$ . Der lineare Anstieg der Kurven gilt nur für kleine Hindernishöhen. Bei größeren Hindernishöhen wirkt sich die Hinderniskrümmung kraftmindernd infolge der Abnahme der Federkonstanten aus.

Die Bewegungsgleichungen sagen aus, daß die Bewegungsverhältnisse der Vorder- und Hinterachse miteinander gekoppelt sind. Demzufolge werden bei einer Erregung der Vorderachse durch eine Unebenheit auch an den Hinterrädern dynamische Kräfte wirken. Die mit dem Analogrechner gewonnenen Ergebnisse zeigen, daß die durch die Massenkopplung an der Hinterachse erzeugten Vertikalbeschleunigungen um mindestens eine Zehnerpotenz kleiner als die Beschleunigungen an der Vorderachse sind. Demzufolge soll hier auf ihre weitere Betrachtung verzichtet werden.

Ferner sei noch angedeutet, daß die hier errechneten maximalen vertikalen dynamischen Radkräfte nur Gültigkeit für die Zeit des Hindernisüberrollvorgangs haben. Springt das Rad vom Hindernis ab, dann werden im allgemeinen beim Wiederaufsetzen auf die Fahrbahn größere dynamische Kräfte zu erwarten sein. Entsprechende Messungen bestätigen diese Aussage. Die Berechnung dieser Kräfte ist möglich, bereitet jedoch beträchtliche Schwierigkeiten.

## Zusammenfassung

Für das Ersatzschwingungssystem eines Traktors wurde die Möglichkeit der Berechnung der vertikalen dynamischen Radkräfte, die beim Überrollen eines Einzelhindernisses entstehen, aufgezeigt. Die Bearbeitung der Bewegungsgleichungen erfolgte mit einem Analogrechner. Durch die Variation verschiedener Parameter des Schwingungssystems konnten die Abhängigkeiten der maximalen vertikalen dynamischen Radkräfte angegeben werden.

## Literatur

- [1] MARQUARD: Schwingungsdynamik des schnellen Straßenfahrzeuges. Verlag Girardet, Essen 1952
- [2] GAUSS: Über das Schwingungsverhalten luftbereifter Fahrzeuge. Forschungen auf dem Gebiet des Ingenieurwesens 21. Band, Heft 13
- [3] LEHR: Die Berechnung der Kraftwagenfederung auf schwingungstechnischer Grundlage. Automobiltechnische Zeitschrift 40 (1937) 16, S. 401 bis 414
- [4] WEIGAND: Einführung in die Berechnung mechanischer Schwingungen, Band 1 und 2. VEB Verlag Technik Berlin 1955 und 1958
- [5] MITSCHKE: Beitrag zur Untersuchung der Fahrzeugschwingungen. Deutsche Kraftfahrtforschung und Straßenverkehrstechnik Heft 157. VDI-Verlag Düsseldorf 1962

A 7581

## VALMET-Waldschlepper

Bereits seit längerer Zeit setzt unsere Forstwirtschaft VALMET-Waldschlepper in verschiedenen Varianten mit Erfolg ein; mit diesen Zielen soll nun der große Leserkreis mit einigen interessanten Details dieser Maschinen bekannt gemacht werden.

Die VALMET-Waldschlepper zeichnen sich besonders aus durch ihre gute Geländegängigkeit (Bild 1), ihr hohes Zugvermögen und die Variabilität ihres Einsatzes. Entsprechende Spezialausführungen bzw. Umrüstungen ermöglichen ihren Einsatz zum Rücken von Baumstämmen (Bild 2), zum Transport von Baumstämmen über größere Entfernungen auf Spezialanhängern bzw. mit Spezialausführung (s. Bild 4 und 5 auf der 3. Umschlagseite), zum Bodenbruch für Neuaufforstungen, für Baggararbeiten, für die Ausbringung von Mineräldüngern in unwegsamen Waldgebieten u. a. m. Die VALMET-Typen 880, 880 S, 1280 und Terra 865 B, 865 BK, 865 LM und 865 RYSKY unterscheiden sich in der

Bild 1. Am Beispiel des Terra 865 LM ist die gute Geländegängigkeit der VALMET-Waldschlepper erkennbar

